

学位論文

免疫抑制剤サイクロスボリンAがラット骨代謝に及ぼす影響

和田 智恵

キーワード：サイクロスボリンA, 骨吸収, マイクロCT, 骨形態計測, 骨基質蛋白

Effect of Cyclosporin A on Bone Metabolism in Rat Long Bone.

Chie WADA

Abstract : Cyclosporin A (CsA) is used as an immunosuppressive agent and its one of prominent side effects is an induction of osteoporosis. The purpose of this study was to investigate the effect of CsA on bone metabolism to elucidate the mechanisms of CsA-induced osteoporosis. Fifteen-day-old rats were fed a powdered-diet containing or lacking CsA for 8 to 30 days. On days 8, 16 and 30, tibiae, bone marrows, and plasma were collected for morphological and biochemical assays. During experimental periods, there was no influence of CsA on the full length of tibia and body weight. Three dimensional micro CT analysis revealed that the three dimensional trabecular bone volume of proximal tibia treated with CsA was not changed on day 8 but it was decreased on days 16 and 30 showing osteoporotic bone resorption. Histological analysis from decalcified section revealed that the volume of bone was decreased by CsA on days 16 and 30 whereas no change on day 8. On day 16, the number of osteoclasts and osteoblasts in CsA-treated rats were significantly increased than that in the controls. Plasma calcium level was normally maintained during experimental periods in both groups. Plasma parathyroid hormone (PTH) and osteocalcin (OCN) levels in CsA-treated rats were increased on day 8 and the levels were decreased to the control levels on days 16 and 30. Northern blot analysis using bone marrow cells revealed that the CsA-treated group showed the increased mRNA levels of OCN, OPN, and cathepsin K on day 8. On day 16, no significant differences of these mRNA levels were observed between CsA-treated and the control groups. The elevation of the parameters on day 8 may possibly reflect the functional increase of bone metabolism in rat long bones, followed by the appearance of bone resorption on day 16. These findings suggest that bone resorption observed in CsA-treated rats is a result of high turnover of bone metabolism and that the active bone remodeling may be induced by the elevation of plasma PTH.

緒 言

サイクロスボリンA (CsA) は、11残基のアミノ酸からなる環状ポリペプチドであり、1976年にノルウェーの土壤中の真菌から発見された¹⁾。CsA は免疫抑制作用を有し、臓器移植後の拒絶反応の抑制や自己免疫疾患の治療などに広く臨床応用されている。しかし、CsA は腎障害、肝障害、骨粗鬆症などの副作用を有することも知ら

れており²⁻⁴⁾、口腔内の副作用としては歯肉増殖症が挙げられる^{5,6)}。また、臓器移植後にCsA を服用している患者は著しい骨量減少が生じ、骨折率が増加するとの報告がある^{3,4,7-9)}。

CsA 誘発性骨吸収の病態を臨床的に把握することは難しい。なぜなら、臓器移植後、患者の大多数はCsAと同時にグルココルチコイドのような他の免疫抑制剤も

投与されており、とくにグルココルチコイドは重篤な骨吸収を引き起こすなど骨代謝に強い影響を与える作用があるからである。一般に、グルココルチコイドはヒトとラットにおいてオステオカルシン(OCN)の合成を阻害し¹⁰⁻¹²⁾、グルココルチコイド単独投与患者では血清OCN濃度は減少する。しかしながら、CsAと併用された場合には腎臓¹³⁾、心臓¹⁴⁾、肝臓¹⁵⁾の移植症例でOCN濃度は上昇することが報告されており、グルココルチコイドとCsAの共存下での骨反応の正確な実態を把握することも難しいのが現状である。CsAの登場により、グルココルチコイド投与量の減少が可能になったが^{3,4)}、依然として多くの移植患者に骨粗鬆症が認められる原因として、CsAの骨作用が影響しているものと考えられる。また、グルココルチコイドやCsAに対する個人の薬物代謝能力の差（血中濃度の差）や、骨に対する反応性に個人差があることも薬物誘発性骨粗鬆症の病態把握を困難にしている原因の一つであると考えられる。

CsAの骨に対する影響を調べた研究は多く報告されている。Stewartら¹⁶⁾は副甲状腺ホルモン(PTH)、1,25-dihydroxyvitamin D₃[1,25(OH)₂D₃]およびプロスタグランдинE₂(PGE₂)で刺激して破骨細胞の機能を誘導する*in vitro*のモデルにおいて、CsAが破骨細胞の骨吸収活性を抑制することを報告し、Movsowitzら¹⁷⁾は*in vivo*のモデルにおいてCsAがラット海綿骨に重篤な骨吸収を引き起こすことを報告している。一方、Orceiら¹⁸⁾はCsA投与により椎体では骨吸収の抑制が生じたことを、Kleinら¹⁹⁾は、CsAによる骨吸収に、部位による影響は認められなかったことを報告している。このように報告によって相反する結果が得られている点については、各実験における薬剤の投与量や投与期間、性別、ラットの週齢等の相違が関連しているとも考えられる。いずれにせよ、CsA投与により発症する骨吸収のメカニズムについては、十分な情報が得られていないのが現状であり、CsA単独による骨への作用を改めて検討する必要性がある。

口腔内に視点をおくと、CsAは線維性の肥厚を伴う歯肉増殖症を引き起こしプレークコントロールが困難になり、う蝕や歯周病が誘発されやすくなるとともに、顎骨や歯槽骨においてはCsA誘発性骨粗鬆症を引き起こす可能性が考えられる。骨粗鬆症患者はアタッチメントロスが大きく、歯周病のリスクファクターとなり得る可能性があると指摘されている²⁰⁾。骨粗鬆症患者の大半は閉経後のエストロゲン欠乏による女性であるが、CsAも骨粗鬆症発症の一因子として顎骨や歯槽骨の代謝に影響しているとすれば、CsA服用が歯周病のリスクを上昇させる可能性も考えられる。

当研究室ではCsA誘発性ラット歯肉増殖症の実験系を有している²¹⁾。このラットモデルではヒトと同様に肉眼的に識別可能な線維性歯肉増殖を再現することができる。本研究では、この実験系を適用してCsAのラット

脛骨骨代謝へ及ぼす影響をマイクロフォーカスX線CT装置(μCT)によって解析することとした。μCTは、非破壊的に実験動物の骨を約10 μm単位の分解能でデータ処理し3次元画像として構築することが可能で、骨梁の微細構造を分析できる装置として近年開発された画像解析装置である。本研究では、さらにラット脛骨の脱灰薄切組織切片を作製し、海綿骨骨梁表面上の破骨細胞と骨芽細胞の数について骨形態計測を行うとともに、骨代謝関連指標である血漿PTH濃度およびOCN濃度に及ぼすCsAの影響も検討した。一方、CsA投与後の大脛骨骨髄細胞における骨代謝関連蛋白OCN、オステオポンチン(OPN)、および骨代謝関連酵素カテプシンKのmRNA発現変化についてノーザンプロット分析を行った。以上に示したラット長管骨の形態および機能分析を通じてCsAの骨代謝に及ぼす影響を検索した。

材料ならびに方法

1. 動物および試料

実験動物として15日齢雄性Fischer 344ラット(日本チャーレズ・リバー、大阪)80匹を用い、そのうち30匹は3次元骨梁構造解析および骨形態計測に、30匹は血液生化学分析に、20匹はノーザンプロット分析に使用した。CsAはNovartis Pharma AG社(Basel, Switzerland)より供与された。ラットの飼育および試料については、CsA投与群は、飼育開始後10日間はCsA量が50 mg/kgとなるように調製した粉末飼料ダイエットNo.2000(日本クレア、大阪)にて飼育し、その後はCsA濃度200 mg/kgに調製したものを与えた²¹⁾。対照群はダイエットNo.2000のみで飼育し、飼育開始後8, 16, 30日目にエーテルおよびネンブタールを用いてラットを安楽死させ、CsA投与群および対照群ラットの脛骨、大脛骨骨髄、血液をそれぞれ採取した。

2. μCTによる3次元骨梁構造解析

飼育開始後8, 16, 30日目のCsA投与群および対照群ラット30匹(各群15匹:5匹×3実験日)より右側脛骨を摘出し、4%パラフォルムアルデヒド(ナカライトスク、京都)にて固定を行った。次いで7 μmの焦点を有するμCT(Model MIF-100; 日立メディコ、東京)を用いて、脛骨近心部の断層撮影を行った。得られた2次元画像は、画像解析ソフト(TRI/3D-BON; ラトックシステムエンジニアリング、東京)を用いて、ボクセルサイズ14 μm、解像度1280×1024画素にて3次元画像として再構築した。脛骨の長径は2次元画像上で測定した。3次元骨梁構造解析に際し、脛骨の近心端より2.5 mmの位置を基準点(起点)とし、5.3 mmの位置まで14 μmの等間隔幅で、合計201枚の断層撮影を行った。撮影条件は、骨と軟組織との間に良好なコントラストを得るために50 kV、100 μAに設定した。パラメーターとして組織あたりの海綿骨量:Bone volume/Tissue volume [BV/TV]

(3D)], 骨梁幅:Trabecular Thickness (Tb. Th), 骨梁間隙:Trabecular Separation (Tb. Sp) を用いた。

3. 脱灰組織切片を用いた骨形態計測

飼育開始後 8, 16, 30 日目の CsA 投与群および対照群ラット 30 匹 (各群 15 匹: 5 匹 × 3 実験日) より左側脛骨を摘出し、軟組織の除去後、4% パラフォルムアルデヒドで固定を行った。次いで、中性 EDTA 10% 溶液にて低温 (4 ℃) で 20 日間の脱灰操作を行った後、エタノール脱水を順次行い、パラフィンに包埋した。引き続き、ロータリーミクロトーム (Model HM 360; MICROM INTERNATIONAL GmbH, Walldorf, Germany) を用いて 7 μm 厚さの脱灰薄切切片を作製した後、破骨細胞を観察するために酒石酸抵抗性酸性フォスファターゼ (TRAP) 染色を行い、さらにマイヤーのヘマトキシリンで対比染色を施し、光学顕微鏡 (Microphoto V series; VFD, Nikon, 東京) 下で観察した。計測範囲は脛骨近心部の二次海綿骨、すなわち成長板より遠位 1.2 mm から 2.0 mm の間の皮質骨を含まない部分とした。破骨細胞については、骨梁表面に存在する TRAP 陽性の多核細胞の数を計測し、骨芽細胞については、骨梁表面に配列する立方状の細胞数を計測した。次いで、Seto らの方法²²⁾に準じて組織あたりの海綿骨量: Bone volume/Tissue volume [BV/TV (2D)], 単位骨梁表面長さあたりの破骨細胞数: Number of Osteoclast/Bone Surface (N. Oc/BS), および骨芽細胞数: Number of Osteoblast/Bone Surface (N. Ob/BS) を算出した。

4. 血液生化学分析

飼育開始後 8, 16, 30 日目の CsA 投与群および対照群ラット 30 匹 (各群 15 匹: 5 匹 × 3 実験日) にネンブタル麻酔を施し腹部大動脈より血液を採取した。血液は採血管 (ヘパリン / 血漿分離剤入り) 中にて十分に振盪させた後 3000 rpm で 20 分間遠心し、血漿を回収した。血漿カルシウム濃度はメチルキシレノールブルー法 (MXB 法) に基づいたキット (カルシウム E - テストワコー; 和光純薬工業, 大阪) を用いて測定した。すなわち、キット付属の緩衝液 1000 μl に対して血漿サンプルを 50 μl 加えて十分に混合した後、MXB を含む発色試薬を 500 μl 添加して発色させ、610 nm にて吸光度を測定した。血漿 PTH 濃度、血漿 OCN 濃度は、ELISA 法に基づいたキット (BIOTRAK アッセイシステムシリーズキット; Amersham Biosciences, Piscataway, NJ, USA) を用いて測定した。血漿 OCN 濃度の測定では、抗ラット Gla-OCN 抗体コーティングプレートにサンプルを 100 μl 加えて、室温で 1 時間反応させ、付属の洗浄用緩衝液で 3 回洗浄した後、HRP 標識抗ラット OCN 抗体溶液を 100 μl 加えて、室温で 1 時間反応させた。3 回洗浄後、テトラメチルベンゼンと過酸化水素水からなる基質溶液 (TMB 基質) を 100 μl 加えて室温で 15 分間反応させ 1 N 硫酸で

反応を停止させ、450 nm にて吸光度を測定した。血漿 PTH 濃度の測定では、抗ラット PTH 抗体コーティングプレートに plate reagent を 50 μl 加えた後、サンプルを 100 μl 加えて、室温で 2 時間反応させた。付属の洗浄用緩衝液で 5 回洗浄後、ビオチン標識抗ラット PTH 抗体溶液を 100 μl 加え、室温で 1 時間反応させた。5 回洗浄後、キット付属の西洋ワサビペルオキシダーゼとストレプトアビジンの結合体からなる AMDEX™ を 100 μl 加え、30 分間反応させた。5 回洗浄後、TMB 基質を 100 μl 加えて室温で 30 分間反応させ、0.2 M 硫酸で反応を停止させた後、450 nm にて吸光度を測定した。

5. ノーザンプロット分析

大腿骨骨髓細胞における骨代謝関連蛋白の mRNA 発現を調べるために、ノーザンプロット分析を行った。骨形成系の指標として骨基質蛋白である OCN と OPN を、骨吸収系の指標として骨吸収時に誘導される蛋白分解酵素カテプシン K を用い、それぞれの mRNA 発現を調べた。飼育開始後 8, 16 日目の CsA 投与群および対照群ラット 20 匹 (各群 10 匹: 5 匹 × 2 実験日) より大腿骨骨髓を RNA 抽出試薬 (TRIZOL®; インビトロジェン, 東京) 中にフラッシュアウトし、ホモジナイザーを用いて細胞を破碎した。以下、通法に従い total RNA を分離し、その一部 (5 μg) を 2 M ホルムアルデヒドを含む 1.2% アガロースゲルを用いた電気泳動で分画した後、エチジウムプロマイドで染色した。次いで、10 倍濃度の SSPE [150 mM NaCl, 1 mM EDTA, 10 mM リン酸緩衝液 (pH 7.4)] を用いたキャピラリーブロッティング法にて Hybond N+ ナイロンメンブレン (Amersham Biosciences) に転写した。アルカリ固定後、プレハイブリダイゼーションを 4 時間行い、骨代謝関連蛋白の cDNA 断片を [³²P] で標識後 (比活性 1 × 10⁶ cpm/μg)，標識 cDNA 断片を用いて 12 時間ハイブリダイゼーションを行った。なお、各 DNA 断片の標識は [α -³²P]-dCTP とランダムプライマー DNA ラベリングキット (宝酒造, 京都) を用いて行った。プレハイブリダイゼーションとハイブリダイゼーションは、50% ホルムアミド、10 × SSPE, 5 × Denhardt 液、0.5% SDS、200 μg/ml サケ精子 DNA を含む 42 ℃ の溶液中で行った。その後、メンブレンを 2 × SSPE, 0.1% SDS を含む溶液中で室温で 2 回洗浄し、52 ℃ の同溶液中でさらに 2 回洗浄した後、イメージングプレートを用いて 3 時間オートラジオグラフィーを行った。得られたバンドのデンシトメトリック分析は、BAS-2000 II イメージ分析システム (富士フィルム, 東京) を用いて行った。DNA プローブには、PCR 産物を精製したものを用いた。PCR 反応には以下の配列のプライマーを使用した。

OCN 5' プライマー : 5'-ATGAGGACCCTCTCTGCTC-3'

OCN 3' プライマー : 5'-GTGGTGCCATAGATGCGCTTG-

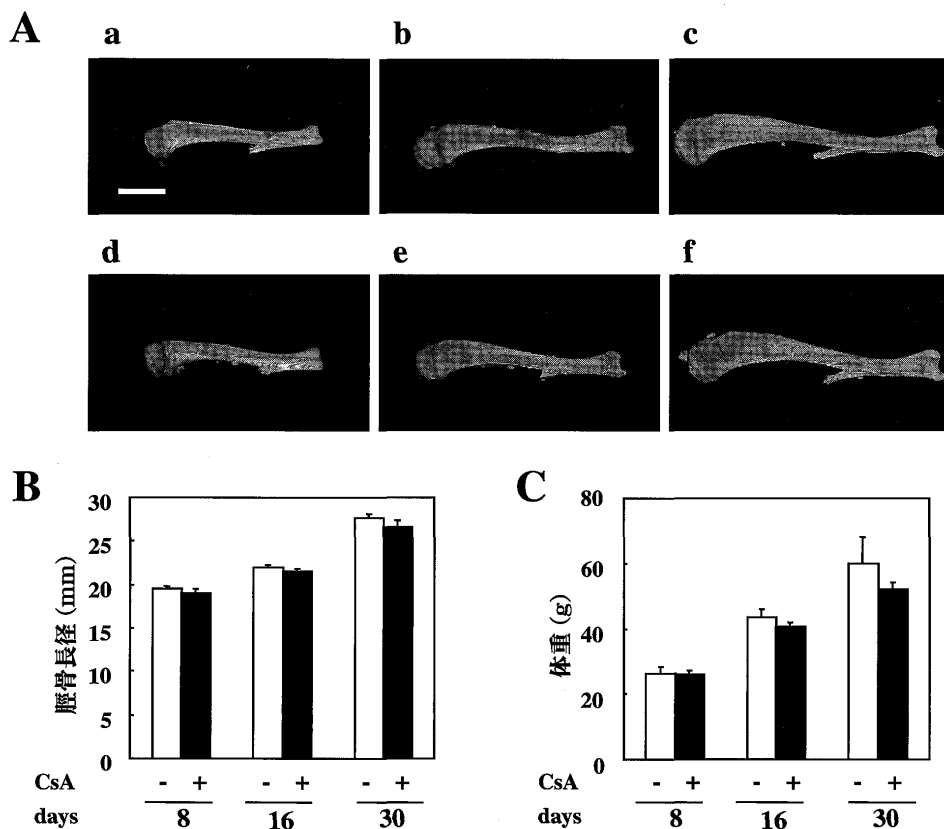


図1 μCTによる長管骨の成長分析

A:飼育開始8日目(a, d), 16日目(b, e), 30日目(c, f)の脛骨のμCT画像。対照群(a, b, c)とCsA投与群(d, e, f)を示す。(バー:5 mm)。B:μCT画像上で測定した、飼育開始8日目, 16日目, 30日の脛骨長径を示す。データは平均値±標準偏差である。(n=5) C:飼育開始8日目, 16日目, 30日の体重を示す。データは平均値±標準偏差である。(n=5)

3'

OPN 5' プライマー : 5'-ATGGACGATGATGACGACG-3'
OPN 3' プライマー : 5'-GGCTTCTCGGCAGTATCGA-3'
カテプシンK 5' プライマー : 5'-CAGTGTGGTTCCCTGTT
GGG-3'
カテプシンK 3' プライマー : 5'-ACATCTGGGGAAGC
TGC-3'

なお、内部標準として用いたglyceraldehyde-3-phosphate dehydrogenase (G3PDH)のプライマーは、Clontech社 (Palo Alto, CA, USA)より購入した。定量化された各バンドはG3PDHに対する相対値として表示し、対照群の値を100とした。

6. 統計分析

CsA投与群および対照群で得られた数値の有意差検定はunpaired t-testに従って行い、危険率5%以下($p < 0.05$)で有意差ありと判定した。

結 果

1. μCTによる3次元骨梁構造解析

図1 Aに示すように、実験期間中、CsA投与群(d,

e, f), 対照群(a, b, c)とともに脛骨の成長が認められ、30日の脛骨の長さは8日の長さと比べ、両群とも約1.4倍に伸びていた。また、実験期間を通じて両群の脛骨の長さに有意差は認められなかった(図1 B)。一方、CsA投与群の体重も対照群と比較して有意差は認められなかった(図1 C)。以上の結果からCsAは本実験系ラットの成長に影響を与えたことが示された。次に、脛骨近心部の3次元画像を図2 Aに示す。CsA投与群の脛骨の形態は、8日目(d)では対照群(a)と比べて変化を認めなかつたが、CsA投与開始後16, 30日目(e, f)では対照群(b, c)に比べて二次海綿骨量が著しく減少し、骨梁構造の粗化、菲薄化が観察された。図2 Bに示すように、脛骨近心部の3次元骨梁構造解析を行うと、CsA投与16日以降、投与群の海綿骨量[BV/TV(3D)]は対照群に比べて有意に減少した(a)。骨梁幅(Tb.Th)はCsA投与16日に有意な減少が認められ(b), 骨梁間隙(Tb.Sp)はCsA投与16日と30日で有意に増加した(c)。以上の結果より、ラットにCsAを経口投与すると、投与16日以降で脛骨近心部二次海綿骨が吸収されることが3次元画像および画像定量値から示された。

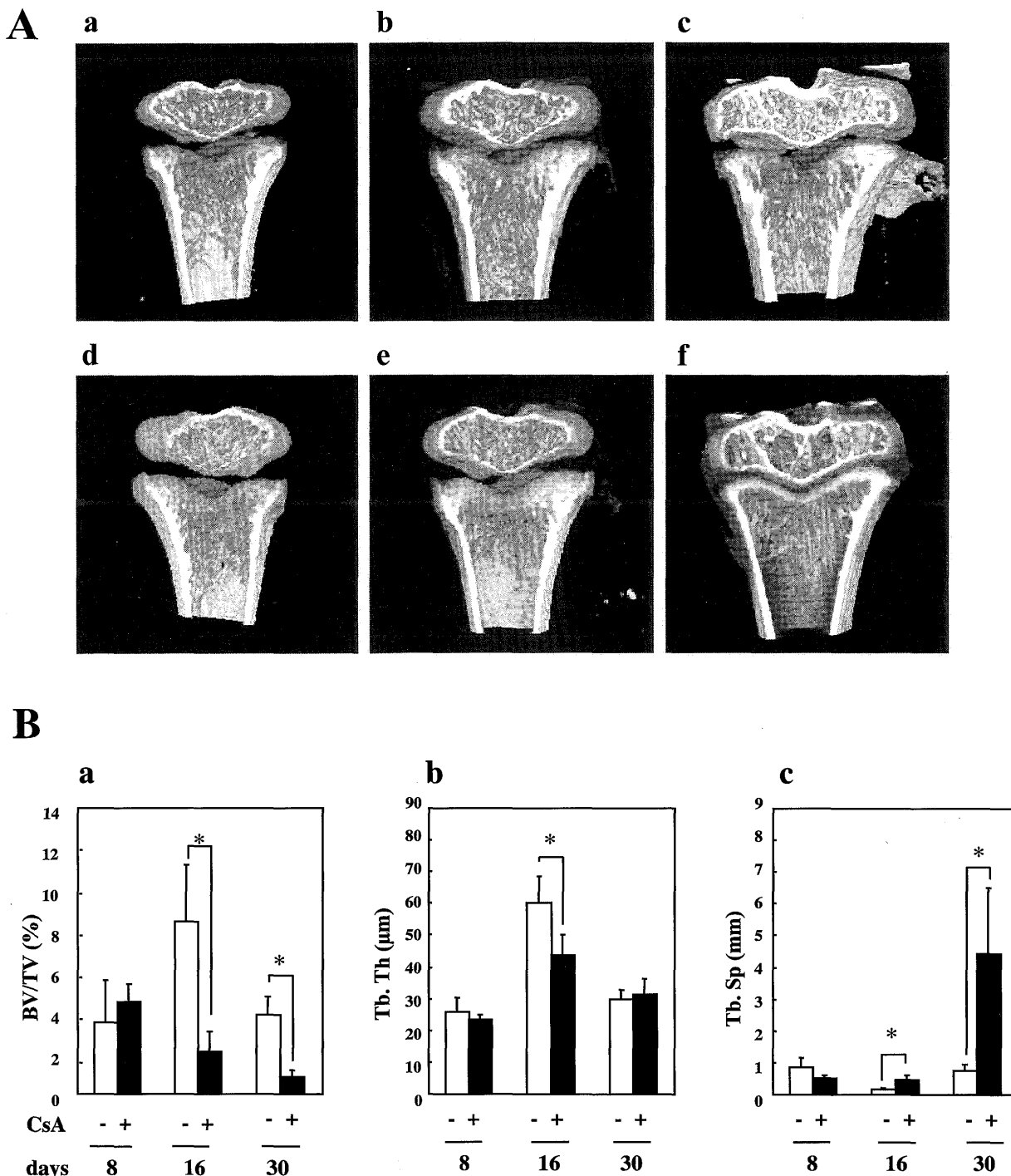


図2 μCTによる3次元骨梁構造解析

A : 飼育開始8日目 (a, d), 16日目 (b, e), 30日目 (c, f) の対照群 (a, b, c) と CsA 投与群 (d, e, f) の脛骨近心部の3次元画像。B : 脛骨近心部における3次元構造のパラメータによる定量的解析。海綿骨量 : [BV/TV (3D)] (a), 骨梁幅 : Tb. Th (b), 骨梁間隙 : Tb. Sp (c) を示す。データは平均値土標準偏差である。
(n=5, *p < 0.05)

2. 骨形態計測

TRAP染色を行った脱灰薄切片の光学顕微鏡像の弱拡大像を図3 Aに、強拡大像を図3 Bにそれぞれ示す。図3 Aに示すように、CsA投与8日目 (d) では対照群 (a)

と比べて明瞭な差は認められなかつたが、CsA投与16日以降 (e, f) では、対照群 (b, c) と比べて二次海綿骨部に明らかな骨量減少が認められた。これらの組織像から骨形態計測を行い定量した結果、海綿骨量 [BV/TV

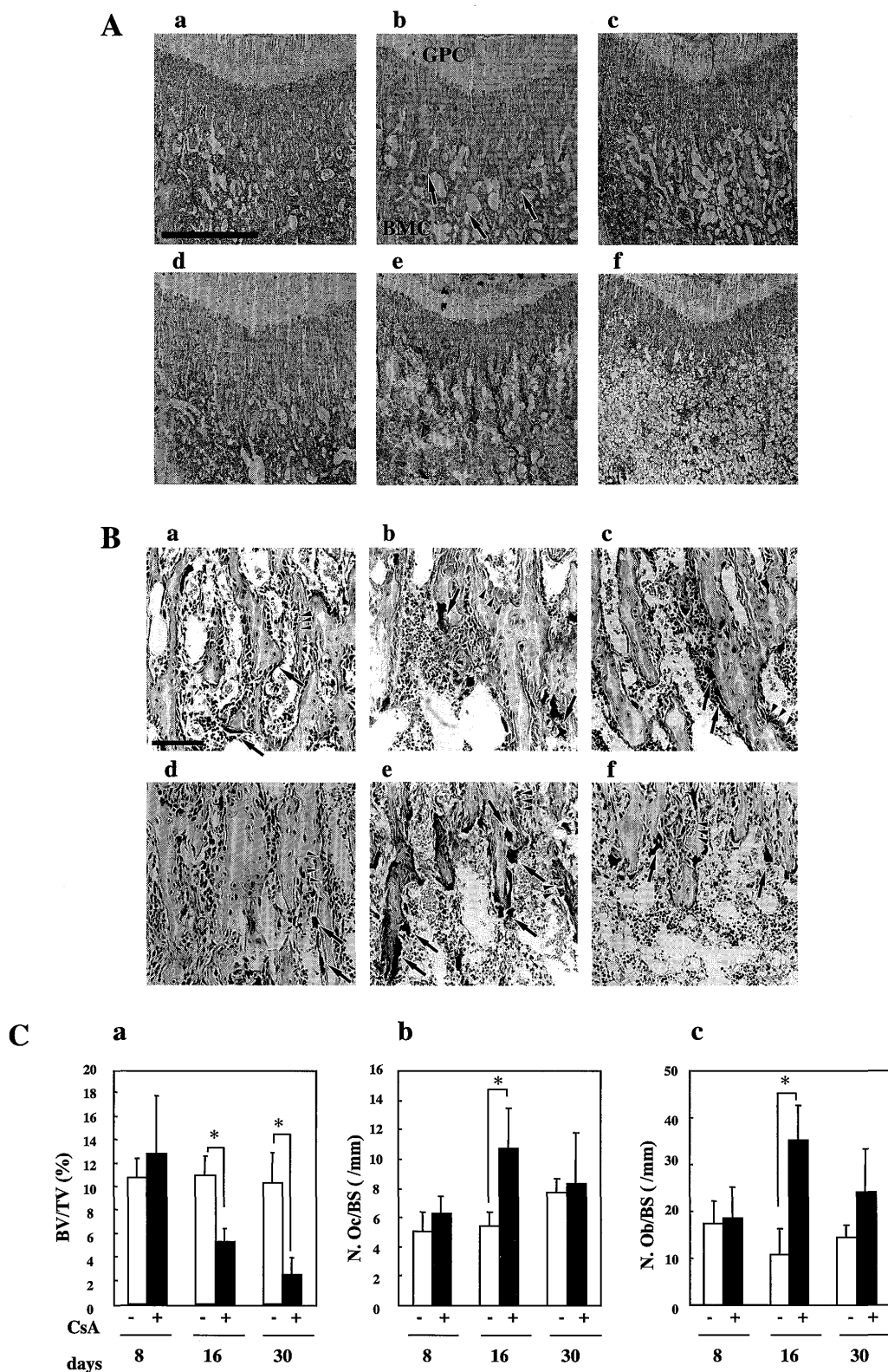


図3 脱灰薄切片の光学顕微鏡像 (TRAP 染色) と骨形態計測

A : 腹骨近心部の弱拡大像。飼育開始 8 日目 (a, d), 16 日目 (b, e), 30 日目 (c, f) の対照群 (a, b, c) と CsA 投与群 (d, e, f) を示す。(バー: 1 mm)。GPC: growth plate cartilage (成長軟骨板)。BMC: bone marrow cavity (骨髓腔)。二次海綿骨骨梁 (矢印)。B : 図 3 A の強拡大像を示す。骨梁表面には、TRAP に染まる多核の大きい破骨細胞 (矢印) と規則的に配列する立方体様の骨芽細胞 (矢頭) が存在する (バー: 100 μ m)。C : 図 3 A の骨形態計測結果を示す。データは平均値 \pm 標準偏差である。 $(n=5, *p < 0.05)$

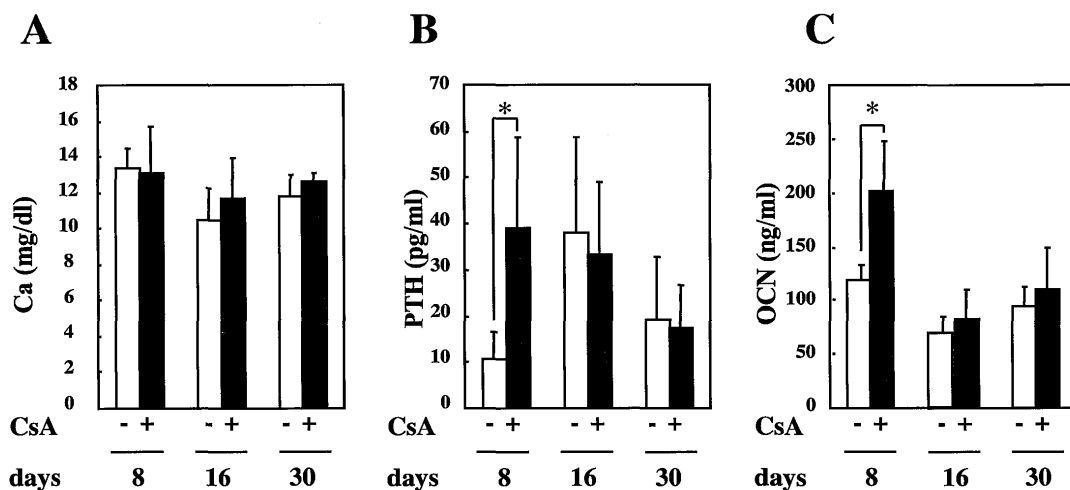


図 4 血液生化学分析

飼育開始 8 日目, 16 日目, 30 日目の対照群と CsA 投与群の血漿カルシウム濃度 (A) を MXB 法にて, 血漿 PTH 濃度 (B) および血漿 OCN 濃度 (C) を ELISA 法にて測定した結果を示す。データは平均値土標準偏差である。(n = 5, *p < 0.05)

(2D)] は CsA 投与 16 日目で対照群の 50% に, 30 日目で 24% にまで減少していた (図 3 C-a)。さらに, 強拡大 (図 3 B) で観察すると, 各組織切片像の骨梁表面上に TRAP 陽性で多核の破骨細胞と単層の立方形の骨芽細胞の存在が確認でき, その数は CsA 投与 16 日目 (e) で著明に認められた。図 3 C-b に示すように, 破骨細胞数 (N. Oc/BS) は CsA 投与 16 日目で対照群の約 2 倍の値を示していた。しかしながら, CsA 投与 30 日目では破骨細胞数は対照群とほぼ同じ値を示していた。同様の傾向が骨芽細胞数 (N. Ob/BS) にも認められ, CsA 投与 16 日目で, その数が対照群の約 3.2 倍を示しており, 30 日目では同様の値を示していた (図 3 C-c)。

3. 血液生化学分析

血漿カルシウム濃度は, 実験期間を通じて CsA 投与群, 対照群ともに正常濃度に保たれていた (図 4 A)。ラットの血漿 PTH 濃度は, ラットに CsA を投与することにより投与 8 日目で約 4 倍にまで上昇しており, 以後その濃度は徐々に減少し, CsA 投与 16 日目および 30 日目では対照群と同様の値を示していた (図 4 B)。血漿中の OCN 濃度も PTH 濃度と同様, CsA 投与 8 日目において対照群に比べて有意に高い値を示しており (約 1.7 倍), 以後は減少し, CsA 投与 16 日目および 30 日目では両群の間に有意差を認めなかった (図 4 C)。

4. 大腿骨骨髄細胞における OCN, OPN, カテプシン K の mRNA 発現

血漿 PTH 濃度と OCN 濃度に有意差の認められた CsA 投与 8 日目と, 差を認めなかった 16 日日の大腿骨骨髄細胞を用いて OCN, OPN およびカテプシン K の mRNA 発現についてノーザンプロット分析を行った。OCN と

OPN は骨形成時に発現上昇し, カテプシン K は骨吸収時に誘導される蛋白分解酵素である。図 5 A に示すように, OCN, OPN およびカテプシン K の mRNA の各サイズに一致する位置に, 単一バンドの発現がそれぞれ認められた (OCN: 0.6 kb, OPN: 1.5 kb, カテプシン K: 1.3 kb)。OCN の mRNA 発現は CsA 投与 8 日目において対照群と比較して約 2.5 倍の, OPN の mRNA 発現については約 1.5 倍の発現上昇が認められた (図 5 B)。しかしながら CsA 投与 16 日目では, OCN および OPN の発現は対照群と同様のレベルまで低下し, 両群間に有意差は認められなかった。カテプシン K の mRNA 発現も骨基質蛋白の mRNA 発現と同様の結果を示し, CsA 投与 8 日目では約 1.5 倍発現が上昇したが, 投与 16 日目では両群とも同様の値であり有意差は認められなかった。

考 察

本研究では, CsA 誘発性骨吸収の病態解明を目的として, CsA 誘発性歯肉増殖症モデルのラットを用いて長管骨の解析を行い, 特徴的な実験手段として μCT を使用した。μCT は微細な骨梁構造を観察するのに有用な機器であり, Ishijima ら²³⁾ や Laib ら²⁴⁾ は, OPN ノックアウトマウスや閉経後骨粗鬆症モデル (OVX モデル) における骨の形態学的測定に μCT を用いて画像解析および定量を行い, μCT が骨代謝研究に優れていることを実証している。本研究では, このラットモデルが CsA 誘発性骨吸収の発症メカニズムを解析するための有用な実験系であることを μCT 分析から得ることができた。加えて, 従来の一般的な手法である組織学的解析を行うとともに, 骨髄細胞での骨代謝関連蛋白の mRNA 発現を調べることによって, CsA が骨代謝に及ぼす影響を形態と機能の両面から分析した。

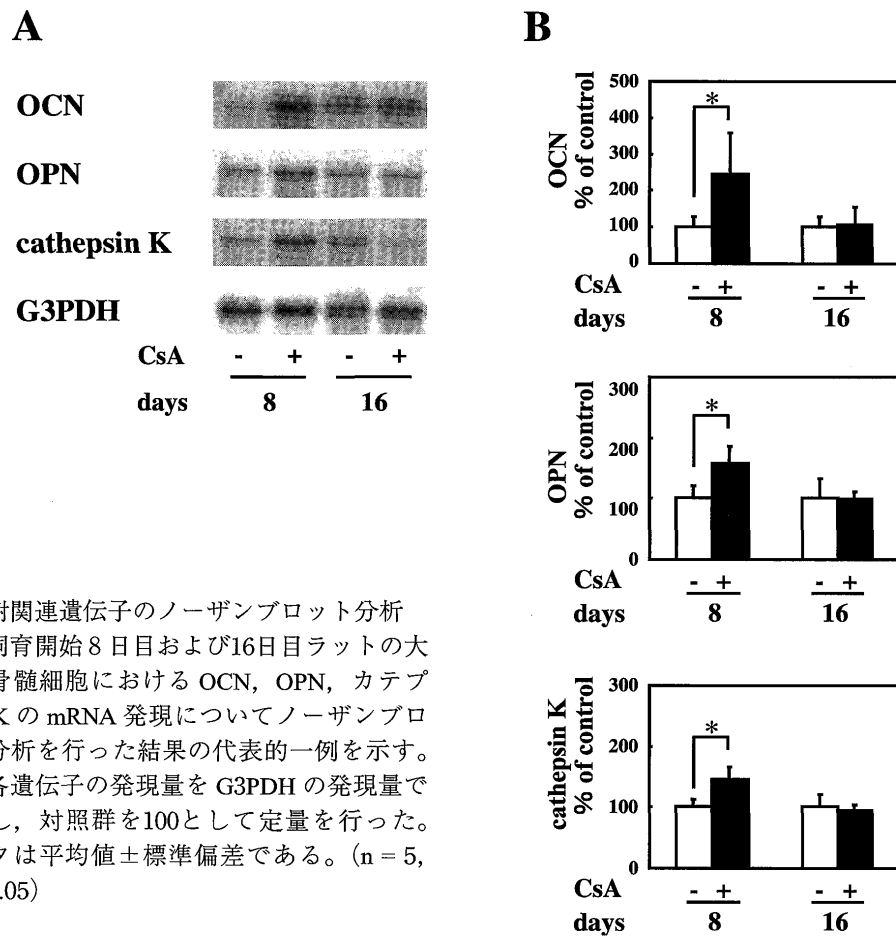


図5 骨代謝関連遺伝子のノーザンプロット分析
A：飼育開始8日目および16日目ラットの大脛骨骨髄細胞におけるOCN, OPN, カテプシンKのmRNA発現についてノーザンプロット分析を行った結果の代表の一例を示す。B：各遺伝子の発現量をG3PDHの発現量で補正し、対照群を100として定量を行った。データは平均値±標準偏差である。(n=5, *p < 0.05)

臓器移植後の拒絶反応の抑制を目的としてCsAを含む免疫抑制剤を投与されている患者では、CsAの服用開始6-12か月の間に著明に骨量が減少し、骨折が増加することが知られている³⁾。一方、ラットにCsAを与えた場合、ヒトと同様に高代謝回転型の骨粗鬆症が発症するとの報告がある^{17, 25)}。本研究ではCsA投与後、早期の段階で脛骨に高度の骨吸収が引き起こされたことが示された。PTHはヒトの臓器移植後の骨疾患に関連する主要因子の一つであると言われており、Compstonら²⁶⁾は、肝移植後1-2か月の間に血中PTHレベルが有意に上昇したことを示し、Gianniniら²⁷⁾は、腎移植後に血中PTH濃度が上昇したことを報告している。さらに、PTHの有無がCsA投与による骨疾患に関連するかどうかを検討する研究が副甲状腺摘出ラットを用いて行われているが、CsA誘発性骨吸収の発症メカニズムにおけるPTHの役割は明確にされてはいない²⁸⁾。興味深いことに、低カルシウム食を与えたラット骨吸収モデルでは、骨吸収が生じるよりも非常に早い段階で血清PTH濃度が上昇する²²⁾。その研究では、低カルシウム食を与えると血中カルシウム濃度が減少した結果、骨組織からカルシウムを動員するために早期の段階でPTHが分泌されたものと考えられ、十分なカルシウムが供給された

後はPTH濃度が速やかに低下し正常濃度に戻ったと報告されている。本研究では、ラットにCsAを投与した場合、血漿カルシウム濃度は実験期間を通じてCsA投与群と対照群で差はなく正常濃度に維持されていた。しかし、CsA投与群の血漿PTH濃度は早期(8日目)に約4倍に上昇し、その後、差はなくなった。ラットにCsAを投与すると、腎尿細管のカルシウム結合蛋白であるカルビンディンD28kの合成が低下し、カルシウムの再吸収能が低下し、高カルシウム尿症が発症するとの報告もあり^{29, 30)}、CsA投与ラットではカルビンディンD28kの低下がPTH作動の誘因になっている可能性がある。このように、本研究においても、血中カルシウム濃度を一定に保つためにCsA投与初期の段階でPTHの分泌が亢進されたものと考えられる。これらの結果から、血漿PTH濃度は実際の骨吸収が検出される前に上昇するという点においてCsA誘発性骨粗鬆症の予知因子としての意義があり、臨床的にも有用な指標になりうるのではないかと考えられる。また、ラットとマウスでは、CsAは1α水酸化酵素の活性を上昇させ、血清中の1,25(OH)₂D₃濃度を増加させるとの報告がある³¹⁾。1,25(OH)₂D₃はPTHの分泌を抑制する作用があり、本研究においてCsA投与16日目以降、血漿PTH濃度が正常濃

度へ回復したことは、 $1,25(\text{OH})_2\text{D}_3$ によるPTH分泌に対する負の制御が生じた可能性が考えられる。本研究においても $1,25(\text{OH})_2\text{D}_3$ 濃度を測定することによってPTHとの関連を追及することが今後の課題である。また、本研究の対照群において投与開始8日目と16日目においてPTH濃度に大きな差が認められたが、血中PTH濃度は同一個体内において変動が大きいことが知られている。Goodmanらの報告³²⁾によると、ラット実験系では対照群においても実験開始時の血清PTH濃度が 84.4 ± 13.4 pg/mlであったものが14日後には 199.4 ± 38.2 pg/mlにまで上昇しており、同様の現象が本実験系においても観察されたものと推察される。

破骨細胞は血液幹細胞を起源とした骨髄中に存在する前駆細胞、骨芽細胞は間葉系幹細胞を起源とした骨髄中に存在する前駆細胞から分化すると考えられ、その分化過程には種々のホルモンやサイトカイン、成長因子などが関与していることが知られている。Holtropら³³⁾は、ラットにPTHを投与することにより橈骨近心の破骨細胞数が増加したと報告し、ここで動員される破骨細胞は骨髄血球幹細胞由来であることを示唆している。このことからCsA投与8日目でのPTH濃度の一時的な上昇は骨髄中での破骨細胞の分化誘導へのトリガーとなつた可能性が高く、実際16日目の組織切片では破骨細胞が多く出現していた。今回、骨芽細胞の計測には、二次海綿骨骨梁表面に存在する立方形の細胞を指標としたが、PTH受容体は立方形の骨芽細胞と、扁平なライニング細胞（骨芽細胞系の休止期の細胞）に存在しているといわれている^{34, 35)}。したがって、骨芽細胞数も16日目に増加したという結果は、PTHの一次的な上昇により直接的に造骨細胞系が刺激され、ライニング細胞から骨芽細胞への活性化が起つた可能性もあることを示唆している。これらに同調するように、CsA投与初期の段階では骨代謝関連蛋白の発現上昇が認められた。OCNは骨組織に特異的に発現し、比較的分化の後期の段階で発現する³⁶⁾。OVXモデルラットでは骨代謝回転が促進されると、OCNのmRNA発現が上昇する³⁷⁾。本研究において、CsA投与8日目ではOCNのmRNA発現は上昇したが、16日目（骨芽細胞の数が増加していた時期）になると、その発現上昇は認められなくなった。このことはOCNが骨芽細胞の分化誘導期に必要な蛋白であることを裏付けている。OPNはOCNとともに主要な骨の非コラーゲン性の蛋白の一つである。その機能は多彩であり、RGD配列を持つことなどから破骨細胞の骨基質への接着に介在したり³⁸⁾、また、破骨細胞のシグナル伝達経路にも関与しており³⁹⁾、破骨細胞の分化調節因子であるとも言われている⁴⁰⁾。OPNはカルシウムに高い親和性を示すことから、骨のリモデリングや石灰化にも関与する⁴¹⁾。OPNの遺伝子発現が破骨細胞と骨芽細胞の活性化にどのように関与しているかは不明な点が多いが、低カルシウム食飼育ラットモデルでは骨代謝回転が促進し

た状態におけるOPNやOCNのmRNA発現の上昇が報告されている²²⁾。また、ラット胎児頭蓋冠由来細胞培養系においても、石灰化骨様組織が形成される際にOPNやOCNがmRNAおよび蛋白レベルで発現促進されることが明らかにされている^{42, 43)}。今回の研究においても、骨代謝が亢進し、骨形成が進展する際にOCNやOPNの発現が増加したものと考えられた。

カテプシンKは破骨細胞に多く存在するシステインプロテアーゼであり、骨吸収時に骨基質中のコラーゲンなどの分解に関与する。カテプシンKノックアウトマウスでは大理石骨病が発症し⁴⁴⁾、一方、過剰発現させると高代謝回転型の骨吸収を発症する⁴⁵⁾。したがってカテプシンKは骨吸収において主要な働きをもつと考えられており、今回の研究結果においてもCsA投与群では早期にmRNAの発現亢進が認められることから破骨細胞機能が活性化していることが示唆された。本研究ではCsA投与後8日目では組織学的な変化、すなわち破骨細胞、骨芽細胞の数の変化は認められなかつたが、この時点ではすでに骨代謝関連遺伝子の発現上昇が認められたため、PTHの分泌を起点として骨形成能、骨吸収能はともに活性化されていたものと考えられる。また、それ以降の時期は、個々の細胞の骨形成能、骨吸収能は対照群と比べて差を認めなかつたが、その数がトータルで増加したために結果として骨形成、骨吸収が亢進されたと考えられる。このように、CsAはラット長管骨において骨代謝を亢進し、その中で骨形成系よりも骨吸収系が優位になった結果、骨吸収が惹起されたものと推察される。正常な骨においては骨形成と骨吸収がバランスの保たれた状態、すなわちカップリングした状態にあるが、そのバランスが崩れた場合には骨量が変化し、骨形成と骨吸収のアンカップリングが起こる⁴⁶⁾。一般に、骨代謝回転が促進した状態ではカップリング状態は保たれないといわれており、本研究ではCsAが高代謝回転型の骨吸収を誘導することが確認された。

以上のように、今回の研究から、CsAを投与するとPTH分泌が亢進し、破骨細胞、骨芽細胞の分化や機能が上昇するとともに、その結果、骨代謝回転が促進され、骨吸収が骨形成を上回るアンカップリング状態となり、脛骨近心二次海綿骨部に高代謝回転型骨吸収が生じるものと考えられた。

なお、同じ実験系においてCsA投与ラットの下顎歯槽骨をμCTで解析する研究も進行中である。現在までの結果からCsA投与群では第一臼歯固有歯槽骨の菲薄化、骨量の減少が認められたが、歯槽骨頂の高さは維持されていた。このことはCsA投与による歯周病発症への影響は少ないが、歯周病発症後の歯周組織破壊の進行に及ぼす影響は大きいことを示唆している。CsAが歯槽骨破壊の増悪因子になるかどうかについては、今回の研究とは別に今後の興味ある課題である。

結論

CsA 投与ラットの長管骨における骨吸収像の実態が3次元的に明らかにされ、骨梁構造の粗造化、菲薄化が確認された。この骨吸収においては、CsA 投与後早期の段階で PTH の分泌亢進が起こり、破骨細胞、骨芽細胞の分化と機能が活性化された結果、骨代謝が促進され、骨吸収が骨形成を上回ったために高代謝回転型の骨吸収が生じたものと考えられた。

謝辞

稿を終えるにあたり、終始御指導、御校閲を賜った歯周歯内治療学分野 永田俊彦教授に深甚なる謝意を表しますとともに、御校閲、御助言を戴きました口腔組織学分野 羽地達次教授、口腔顎顔面矯正学分野 森山啓司教授に深謝致します。また、直接御指導と御助言を戴きましたゲノム機能研究センター遺伝子発現分野 片岡正俊助教授、歯周歯内治療学分野 瀬戸浩行博士に厚く御礼申し上げます。最後に数々の御教示と御援助を戴きました歯周歯内治療学分野の諸先生方に深謝致します。

文 献

- 1) Shevach EM: The effects of cyclosporin A on the immune system. *Annu Rev Immunol* 3, 397-423 (1985)
- 2) Farthing MJ and Clark ML: Nature of the toxicity of cyclosporin A in the rat. *Biochem Pharmacol* 30, 3311-3316 (1981)
- 3) Rodino MA and Shane E: Osteoporosis after organ transplantation. *Am J Med* 104, 459-469 (1998)
- 4) Epstein S: Post-transplantation bone disease: the role of immunosuppressive agents and the skeleton. *J Bone Miner Res* 11, 1-7 (1996)
- 5) Daley TD and Wysocki GP: Cyclosporin therapy: its significance to the periodontist. *J Periodontol* 55, 708-712 (1984)
- 6) Bartold PM: Cyclosporin and gingival overgrowth. *J Oral Pathol Med* 16, 463-468 (1987)
- 7) Durieux S, Mercadal L, Orcel P, Dao H, Rioux C, Bernard M, Rozenberg S, Barrou B, Bourgeois P, Deray G and Bagnis CI: Bone mineral density and fracture prevalence in long-term kidney graft recipients. *Transplantation* 74, 496-500 (2002)
- 8) Cueto-Manzano AM, Konel S, Hutchinson AJ, Crowley V, France MW, Freemont AJ, Adams JE, Mawer B and Gokal R: Bone loss in long-term renal transplantation: histopathology and densitometry analysis. *Kidney Int* 55, 2021-2029 (1999)
- 9) Compston JE: Osteoporosis after liver transplantation. *Liver Transpl* 9, 321-330 (2003)
- 10) Meeran K, Hattersley A, Burrin J, Shiner R and Ibbertson K: Oral and inhaled corticosteroids reduce bone formation as shown by plasma osteocalcin levels. *Am J Respir Crit Care Med* 151, 333-336 (1995)
- 11) King CS, Weir EC, Gundberg CW, Fox J and Insogna KL: Effects of continuous glucocorticoid infusion on bone metabolism in the rat. *Calcif Tissue Int* 59, 184-191 (1996)
- 12) Movsowitz C, Schlosberg M, Epstein S, Ismail F, Fallon M and Thomas S: Combined treatment with cyclosporin A and cortisone acetate minimizes the adverse bone effects of either agent alone. *J Orthop Res* 8, 635-641 (1990)
- 13) Wilmink JM, Bras J, Surachno S, van Heyst JL and van der Horst JM: Bone repair in cyclosporin treated renal transplant patients. *Transplant Proc* 21, 1492-1494 (1989)
- 14) Thiebaud D, Krieg MA, Gillard-Berguer D, Jacquet AF, Goy JJ and Burckhardt P: Cyclosporin induces high bone turnover and may contribute to bone loss after heart transplantation. *Eur J Clin Invest* 26, 549-555 (1996)
- 15) Hawkins FG, Leon M, Lopez MB, Valero MA, Larrodera L, Garcia-Garcia I, Loinaz C and Moreno Gonzalez E: Bone loss and turnover in patients with liver transplantation. *Hepatogastroenterology* 41, 158-161 (1994)
- 16) Stewart PJ, Green OC and Stern PH: Cyclosporin A inhibits calcemic hormone-induced bone resorption in vitro. *J Bone Miner Res* 1, 285-291 (1986)
- 17) Movsowitz C, Epstein S, Fallon M, Ismail F and Thomas S: Cyclosporin-A in vivo produces severe osteopenia in the rat: effect of dose and duration of administration. *Endocrinology* 123, 2571-2577 (1988)
- 18) Orcel P, Bielakoff J, Modrowski D, Miravet L and de Verneuil MC: Cyclosporin A induces in vivo inhibition of resorption and stimulation of formation in rat bone. *J Bone Miner Res* 4, 387-391 (1989)
- 19) Klein L, Lemel MS, Wolfe MS and Shaffer J: Cyclosporin A does not affect the absolute rate of cortical bone resorption at the organ level in the growing rat. *Calcif Tissue Int* 55, 295-301 (1994)
- 20) von Wowern N, Klausen B and Kollerup G: Osteoporosis: a risk factor in periodontal disease. *J Periodontol* 65, 1134-1138 (1994)
- 21) Kataoka M, Seto H, Wada C, Kido J and Nagata T: Decreased expression of $\alpha 2$ integrin in fibroblasts isolated from cyclosporin A-induced gingival overgrowth in rats. *J Periodontal Res* 38, 533-537 (2003)
- 22) Seto H, Aoki K, Kasugai S and Ohya K: Trabecular bone turnover, bone marrow cell development, and gene expression of bone matrix proteins after low calcium feeding in rats. *Bone* 25, 687-695 (1999)

- 23) Ishijima M, Tsuji K, Rittling SR, Yamashita T, Kurosawa H, Denhardt DT, Nifuji A and Noda M: Resistance to unloading-induced three-dimensional bone loss in osteopontin-deficient mice. *J Bone Miner Res* 17, 661-667 (2002)
- 24) Laib A, Kumer JL, Majumdar S and Lane NE: The temporal changes of trabecular architecture in ovariectomized rats assessed by MicroCT. *Osteoporosis Int* 12, 936-941 (2001)
- 25) Schlosberg M, Movsowitz C, Epstein S, Ismail F, Fallon MD and Thomas S: The effect of cyclosporin A administration and its withdrawal on bone mineral metabolism in the rat. *Endocrinology* 124, 2179-2184 (1989)
- 26) Compston JE, Greer S, Skingle SJ, Stirling DM, Price C, Friend PJ and Alexander G: Early increase in plasma parathyroid hormone levels following liver transplantation. *J Hepatol* 25, 715-718 (1996)
- 27) Giannini S, D'Angelo A, Carraro G, Antonello A, Di Landro D, Marchini F, Plebani M, Zaninotto M, Rigotti P, Sartori L and Crepaldi G: Persistently increased bone turnover and low bone density in long-term survivors to kidney transplantation. *Clin Nephrol* 56, 353-363 (2001)
- 28) Epstein S, Dissanayake IR, Goodman GR, Bowman AR, Zhou H, Ma Y and Jee WS: Effect of the interaction of parathyroid hormone and cyclosporin A on bone mineral metabolism in the rat. *Calcif Tissue Int* 68, 240-247 (2001)
- 29) Yang CW, Kim J, Kim YH, Cha JH, Mim SY, Kim YO, Shin YS, Kim YS and Bang BK: Inhibition of calbindin D28K expression by cyclosporin A in rat kidney: the possible pathogenesis of cyclosporin A-induced hypercalciuria. *J Am Soc Nephrol* 9, 1416-1426 (1998)
- 30) Steiner S, Aicher L, Raymackers J, Meheus L, Esquer-Blasco R, Anderson NL and Cordier A: Cyclosporin A decreases the protein level of the calcium-binding protein calbindin-D 28kDa in rat kidney. *Biochem Pharmacol* 51, 253-258 (1996)
- 31) Stein B, Halloran BP, Reinhardt T, Engstrom GW, Bales CW, Drezner MK, Currie KL, Takizawa M, Adams JS and Epstein S: Cyclosporin-A increases synthesis of 1, 25-dihydroxyvitamin D₃ in the rat and mouse. *Endocrinology* 128, 1369-1373 (1991)
- 32) Goodman GR, Dissanayake IR, Bowman AR, Pun S, Ma Y, Jee WSS, Bryer HP and Epstein S: Transforming growth factor- β administration modifies cyclosporin A-induced bone loss. *Bone* 28, 583-588 (2001)
- 33) Holtrop ME, King GJ, Cox KA and Reit B: Time-related changes in the ultrastructure of osteoclasts after injection of parathyroid hormone in young rats. *Calcif Tissue Int* 27, 129-135 (1979)
- 34) Barling PM and Bibby NJ: Study of the localization of [³H] bovine parathyroid hormone in bone by light microscope autoradiography. *Calcif Tissue Int* 37, 441-446 (1985)
- 35) Irie K and Ozawa H: Immunohistochemical localization of parathyroid hormone/parathyroid hormone-related peptide receptor in rat tibiae. *J Bone Miner Metab* 14, 10-14 (1996)
- 36) Rodan GA and Noda M: Gene expression in osteoblastic cells. *Crit Rev Eukaryot Gene Expr* 1, 85-98 (1991)
- 37) Salih MA, Liu CC, Arjmandi BH, Kalu DN: Estrogen modulates the mRNA levels for cancellous bone protein of ovariectomized rats. *Bone Miner* 23, 285-299 (1993)
- 38) Ross FP, Chappel J, Alvarez JI, Sander D, Butler WT, Farach-Carson MC, Mintz KA, Robey PG, Teitelbaum SL and Cheresh DA: Interactions between the bone matrix proteins osteopontin and bone sialoprotein and the osteoclast integrin $\alpha v\beta 3$ potentiate bone resorption. *J Biol Chem* 268, 9901-9907 (1993)
- 39) Miyauchi A, Alvarez J, Greenfield EM, Teti A, Grano M, Colucci S, Zambonin-Zallone A, Ross FP, Teitelbaum SL, Cheresh D and Hruska KA: Recognition of osteopontin and related peptides by an $\alpha v\beta 3$ integrin stimulates immediate cell signals in osteoclasts. *J Biol Chem* 266, 20369-20374 (1991)
- 40) Rittling SR, Matsumoto HN, McKee MD, Nanci A, An XR, Novick KE, Kowalski AJ, Noda M and Denhardt DT: Mice lacking osteopontin show normal development and bone structure but display altered osteoclast formation in vitro. *J Bone Miner Res* 13, 1101-1111 (1998)
- 41) Denhardt DT and Guo X: Osteopontin: a protein with diverse functions. *FASEB J* 7, 1475-1482 (1993)
- 42) Nagata T, Bellows CG, Kasugai S, Butler WT and Sodek J: Biosynthesis of bone proteins [SPP1 (secreted phosphoprotein-1, osteopontin), BSP (bone sialoprotein) and SPARC (osteonectin)] in association with mineralized-tissue formation by fetal-rat calvarial cells in culture. *Biochem J* 274, 513-520 (1991)
- 43) Kasugai S, Nagata T and Sodek J: Temporal studies on the tissue compartmentalization of bone sialoprotein (BSP), osteopontin (OPN), and SPARC protein during bone formation in vitro. *J Cell Physiol* 152, 467-477 (1992)
- 44) Saftig P, Hunziker E, Wehmeyer O, Jones S, Boyde A, Rommerskirch W, Moritz JD, Schu P and von Figura K: Impaired osteoclastic bone resorption leads to osteopetrosis in cathepsin-K-deficient mice. *Proc Natl Acad Sci USA* 95, 13453-13458 (1998)
- 45) Kiviranta R, Morkko J, Uusitalo H, Aro HT, Vuorio E

- and Rantakokko J: Accelerated turnover of metaphyseal trabecular bone in mice overexpressing cathepsin K. *J Bone Miner Res* 16, 1444-1452 (2001)
- 46) 福本誠二：“骨粗鬆症の病型と病態生理”. 骨・カルシウム代謝の調節系と骨粗鬆症. 松本俊夫編. 第1版. 東京, 羊土社, 1996, 128-137